جربان الموائع - مراجعة

الجريان الدائم: هو الجريان الذي تكون فيه \overrightarrow{V} غير متعلقة بالزمن (ثابتة مع الزمن). في حال كانت السرعة متعلقة بالزمن يسمى الجريان "غير دائم".

خطوط التيار: Streamline

مجموعة المنحنيات التي تمس في كل نقطة من حقل الجريان وفي لحظة معينة شعاع السرعة في تلك النقطة.

المسار:

هو المحل الهندسي الذي ترسمه ذرة مائعة أثناء حركتها من مكان لآخر.

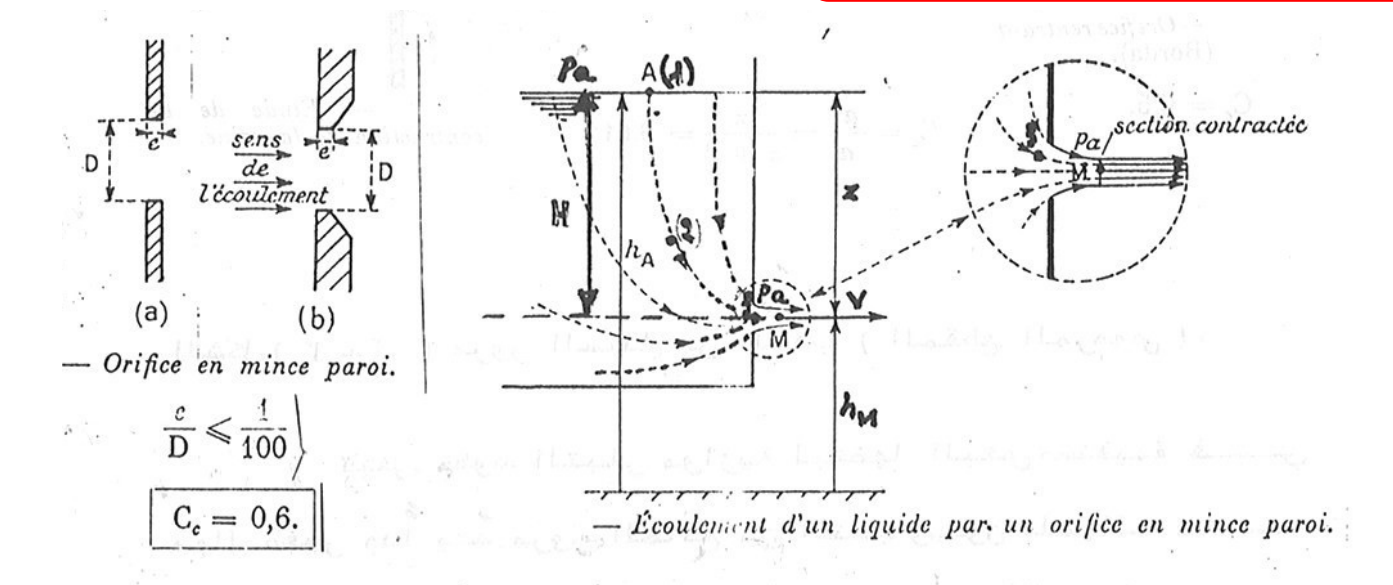
$$(\overrightarrow{V_S})$$
 شعاع السرعة في الحالة العامة $\overrightarrow{V}=f(s,t)$ $dV_S=rac{\partial V_S}{\partial s}ds+rac{\partial V_S}{\partial t}dt$

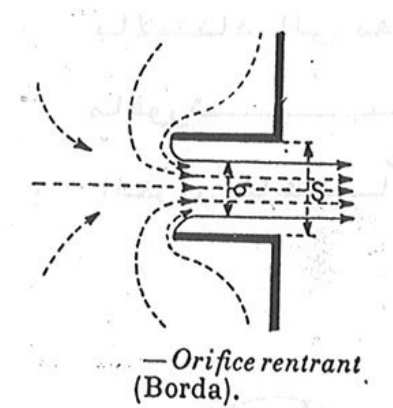
جربان الموائع - مراجعة

معادلة برنوللي: Bernoulli Equation

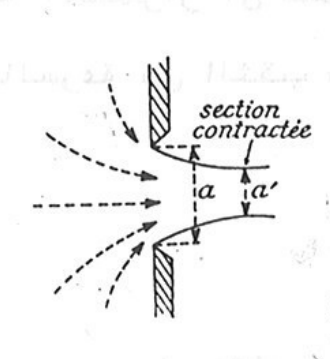
$$\frac{P}{\omega} + \frac{V^2}{2 \cdot g} + Z = C$$

. الثقوب ذات الحرف الحاد :

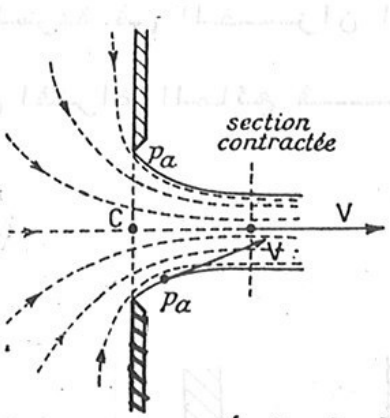




$$C_c = 0.5$$
.



$$C_c = \frac{a'}{a} = \frac{\pi}{\pi + 2} = 0,611$$



. — Étude de la contraction de la veine.

لنافذ الان أحد خطوط التيار المبينة في الشكل (٣ ـ ١١٠)، وليكن (3 - 2 - 1) ، ان تطبيق معادلة برنوالي على هذا الخصط، مفترضين شروط الجريان الدائم لمائع غير لزج وغير قابل للانضغاط يعطى :

$$0 + P_A + H = \frac{P_2}{\omega} + z_2 + \frac{V_2^2}{2g} = P_A + 0 + \frac{V_3^2}{2g}$$
 3 - 25)

حيث أهملت السرعة في الخزان واعتمدنا المستوي الافقي المـــار بمحور الفتحة مبدأ لقياس الارتفاعات ع·

من العلاقةالسابقة يتبين أن :

$$V_3 = \sqrt{2gH}$$
 (3 - 26)

حيث ₃ V سرعة التيار المنتظمة عند مقطع الثقب و H ارتفاع السائل فوق محور الثقب ، لقد أثبت العالم الايطالي توريشللي أن سرعــة نفوذ سائل من ثقب صغير تتناسب مباشرة مع الجذر التربيعي لارتفاع السائل فوق الثقب ، لذا تدعى العلاقة الاخيرة بعلاقة توريشللـــي بالرغم من اشتقاقها من معادلة برنوللي ،

Berg

ونستطيع افتراض أمثال للسرعة $C_{\overline{V}}$ يعــرف بالنسبة التالية :

$$C_{v} = \frac{V_{a}}{V_{t}}$$

حيث Va السرعةالعقيقية للسيالة عند المقطع المرصوص ، و V السرعة النظرية مفترضين نظريةالمائع المثاليين

يمكننا افتراض أمثال للرصيعــرف وفق العلاقة:

$$C_{C} = \frac{A_{C}}{A_{O}}$$
 (3 - 27)

 $^{\rm A}_{\rm C}$ حيث $^{\rm A}_{\rm C}$ مساحة المقطع المرصوص و $^{\rm A}_{\rm C}$ مساحة الثقصيب

نستطيع افتراض أمثال للتدفق وفق العلاقة:

$$C_{d} = \frac{Q_{a}}{Q_{+}} \qquad (3 - 28)$$

حيث $_{\mathsf{Q}}$ التدفق الحقيقي و $_{\mathsf{Q}}$ التدفق النظري من الثقب بوحـــ

الزمن ، من تعريف التدفقين الحقيقي والنظري نرى أن :

$$C_d = \frac{V_a \cdot A_c}{V_t \cdot A_o} = C_v \cdot C_c$$

نجد أن التدفق الحقيقـــي

من الثقب يحسب من العلاقات التالية:

$$Q_a = C_d \cdot Q_t = C_d \cdot A_o \cdot V_t = C_d \cdot A_o \sqrt{2gH}$$
من الوسائل المستعملة في تعيين أمثال السرعة C_{tr}

أن تترك السيالةالمتدفقة من ثقب شاقولى تسقط سقوطاً حراً

أما الحركةالشاقولية للسيالة فهيي

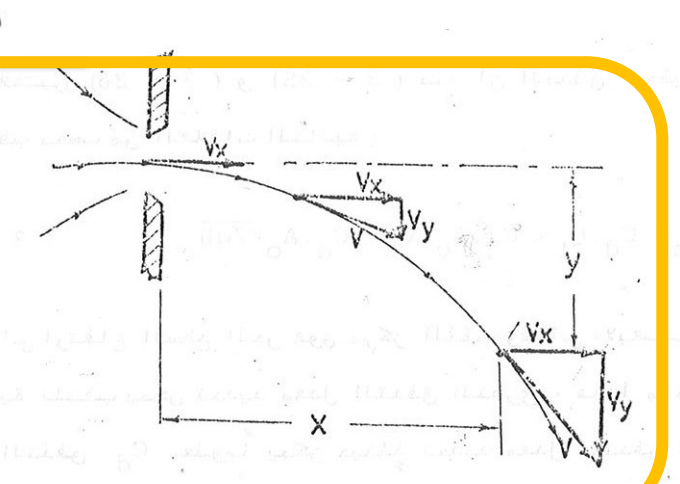
متسارعة بانتظام • وتخضع حركة السيالة للعلاقتين :

or theke goes they as the

$$X = V_{x} \cdot t$$

$$Y = \frac{1}{2} gt^{2}$$

$$Y = \frac{g}{\sqrt[4]{2}V_{x}^{2}} x^{2}$$



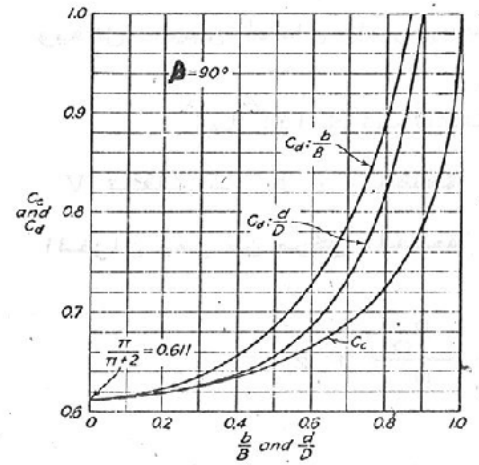
هذا يعني أن السيالة ستتبع في مسارها مقطعاً مُكَافئاً •

هذه السرعــة هي سرعة تدفق المائع من الثقب وهي السرعةالمقيقية لأنها مقاســـة تجريبياً ، السرعةالنظرية تنتج عن علاقة توريشللي :

$$V_t = \sqrt{2gH}$$

والعامل C يختلف اختلافاً بسيطاً متُوقْقًا على شكل ومجم الفتحة وعلو

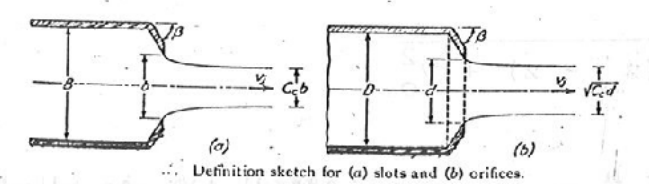
السائل وقيمته تتراوح بين 99,0,99,0.0



Variation of efflux coefficients with boundary proportions.

COEFFICIENTS OF JET CONTRACTION

$\frac{b}{B}$ or $\frac{d}{D}$	\$ = 45°	8 - 90°	B = 135 3	8 - 180°
0.0	0.746	0.611	0.537	0.500
Outio	0.747	0.612	0.546	0.513
0.2	0.747	0.616	0.555	0.528
0.3	0.748	0.622	0.566	0.544
0.4	0.749	0.631	0.580	0.564
0.5	0.752	0.644	0.599	0.586
0.6	0.758	0.662	0.620	0.613
0.7	0.768	. 0.687	0.652	0.546
0.8	0.789	0.722	0.698	0.591
0.9	0.829 8	0.781	0.761	0.760
1.0	1.000	1.000	1.000	1.000



تغير أمثال التدفق تبعاً لشكل حواف الثقصيب .

لقد وجد أن أمثال التدفق يرتبط مع أمثال الرص بالعلاقــة التالية من أجل ارتفاع فتحة الثقب d:

$$C_{d} = \frac{C_{c}}{\sqrt{1 - C_{c}^{2} \left(\frac{b}{B}\right)^{2}}} = \frac{q}{b\sqrt{\frac{2\Delta P}{\rho}}}$$

 $c_{d} = \frac{c_{c}}{\sqrt{1 - c_{c}^{2}(\frac{d}{D})^{4}}} = \frac{Q}{\frac{\pi d^{2}}{4} \sqrt{\frac{2\Delta P}{\rho}}}$

أما اذا كانت الفتجةالجانبية في الخزان كبيرة فان السرعة V

$$\frac{v_{o}^{2}}{2g} + \frac{P_{o}}{\omega} + z_{o} = \frac{v_{o}^{2}}{2g} + \frac{P_{o}}{\omega} + z$$

$$P_{o} = P = P_{a}$$

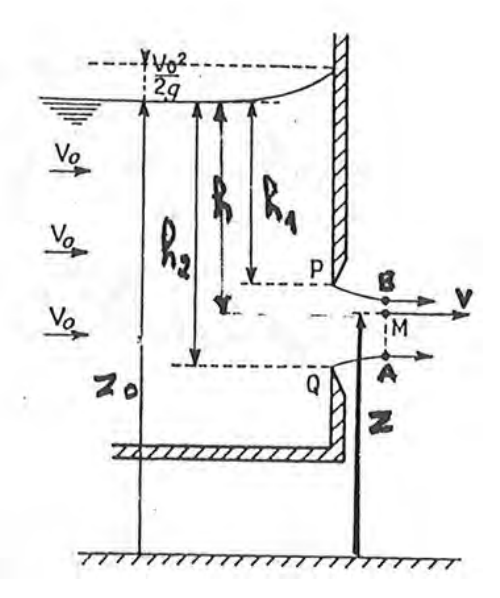
$$V = \sqrt{2g(z_{o} - z) + v_{o}^{2}}$$

ومن أجل فتحة مستطيلة عرضها b = y نحصل على .

$$Q = \int_{A}^{B} V.bdh$$

$$Q = C_d b \sqrt{2g} \int_{h_1}^{h_2} (\frac{v_o^2}{2g} + h)^{\frac{1}{2}} dh$$

$$Q = \frac{2}{3} C_{\bar{d}} b \sqrt{2g} \left[\left(\frac{v_o^2}{2g} + h_2 \right)^{3/2} - \left(\frac{v_o^2}{2g} + h_1 \right)^{3/2} \right]$$

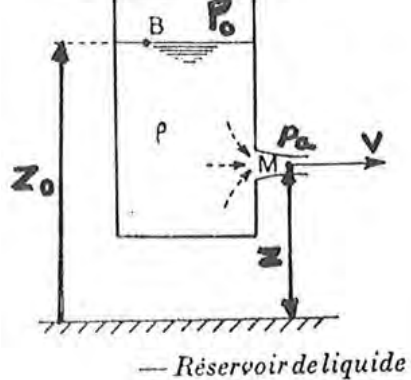


_ الجريان من خزان مغلق تحت الضغط :

في حالة السطح الحر للفزان المغلق خاصع الى ضغـط P أعلى من الصُّعُط الجوي تكتب معادلة برنوللي بالشكل (٣ - ١٦)بعد أن اعتبرنا أن خط التيار أفقـي يمر من مركز الفتحة والسرعـــة

$$z_0 + \frac{P_0}{\omega} = z + \frac{P_a}{\omega} + \frac{v^2}{2q}$$

ومنه التدفق



$$Q = C_d A \sqrt{2g[(\frac{P_0 - P_a}{\omega}) + h]}$$

ـ مالجريان عبر فتحة سفليه في خزان :

 A_{0} ليفترض خزاناً قاعدته السفلية مستطيلة مساحته V_{0} وفيها فتحة صغيرة مقطعها A بالنسبة ل A_{0} عن الماضع للضغط A_{0} .

في اللحظة đt يكون الحجم الكلي الخارج من الفتحصية

$$dQ = C_{d}.A\sqrt{2gz}.dt$$

وفي نفس اللحظة dt ينخفض الما وما المسافة dz ومنه حجم المسلاء الخارج :

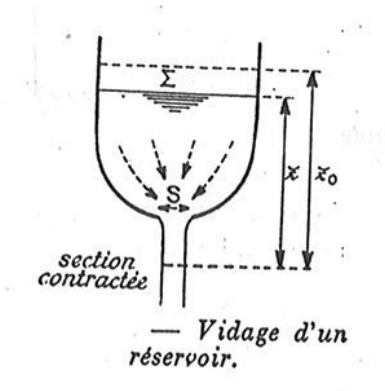
$$dQ = -A_0 dz$$

أعطيت القيمة السالبة لأن ارتفاع الماء في الخزان ينخفض مع الزمن:

$$t = \frac{-A_0}{C_d \cdot A\sqrt{2g}} \int_{z_0}^{z} \frac{dz}{\sqrt{z}}$$

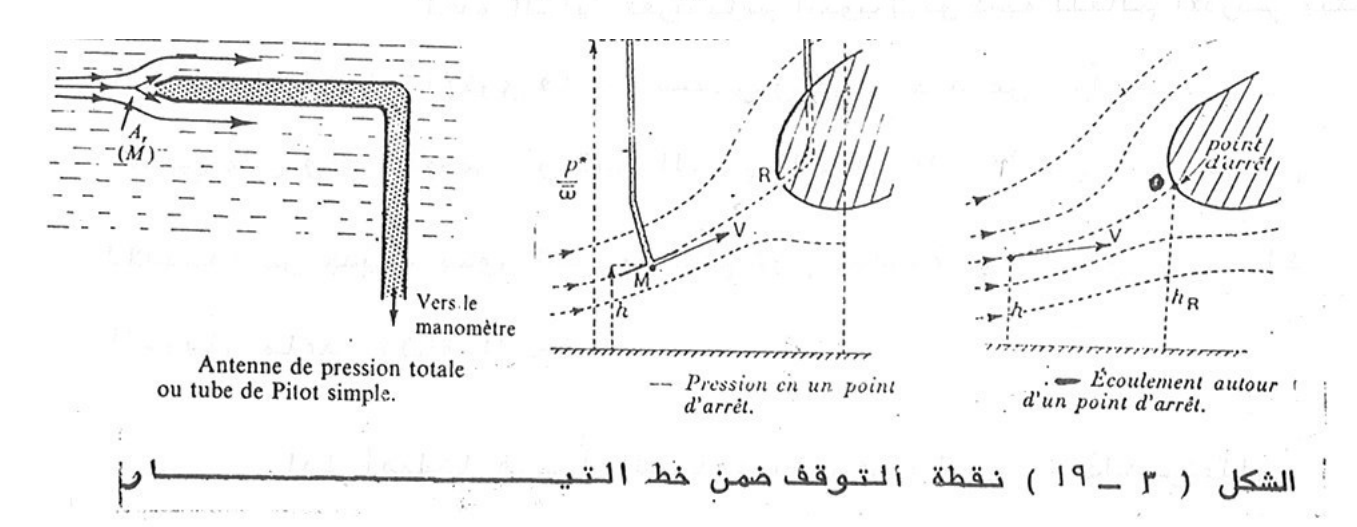
وفي حالة 0 = 2 أي حالة التفريغ :

$$t = \frac{2A_0z_0}{C_dA/2gz_0} = \frac{2A_0z_0}{t = 0}$$
 التدفق البدأئي في اللحظة $t = 0$

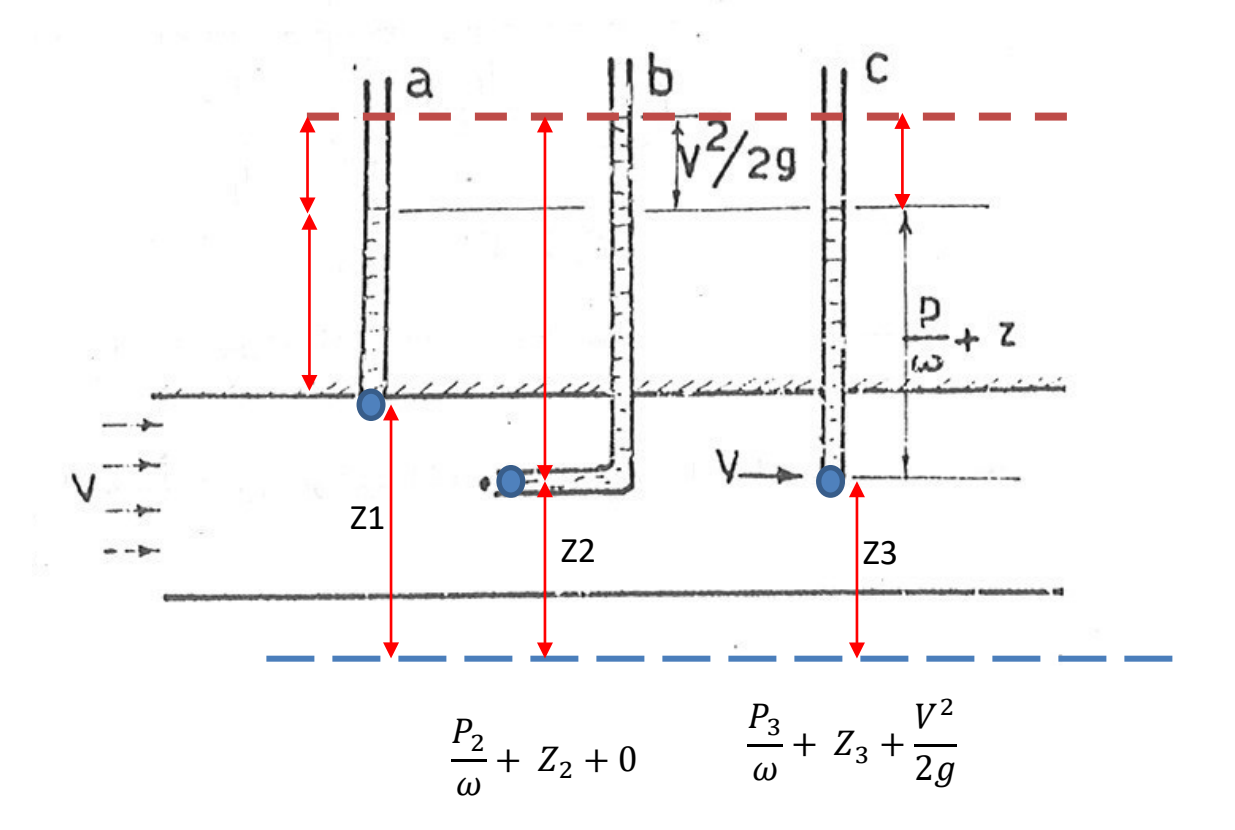


أنبوب بيتو

عند انعدام السرعة في منطقة ما من الجريان تتحصول القدرة الحركية الى ضغط به وندعو النقطة التي تنعدم عندها السرعة بنقطة توقف والضغط بضغط التوقف تسمى شروط التيار في نقطة توقف بشروط التوقف ونعني بشروط التيار هناشغط التهاروكتلته النوعية ١٠١٠خ،



أنبوب بيتو

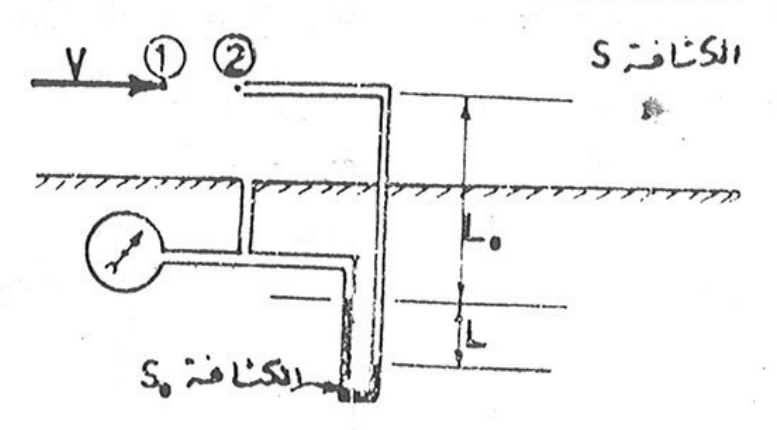


$$\frac{P_2}{\omega} - \frac{P_3}{\omega} = \frac{V^2}{2g}$$

$$\frac{P_2}{\rho \cdot g} - \frac{P_3}{\rho \cdot g} = \frac{V^2}{2g}$$

$$P_2 - P_3 = \rho \cdot \frac{V^2}{2}$$

أنبوب بيتو



$$\omega S_{O}^{L} + \omega SL_{O} + P = \omega S(L + L_{O}) + P_{O}$$

تطبيق معادلة برنوللي بين النقطتين (1)و (2)يعطي:

$$P_0 = P + \rho \frac{V^2}{2}$$

حيث ρالكتلةالنوعية للمائع الجاري أي أن :

$$\rho = \frac{\omega.S}{g}$$

من العلاقتين الاخيرتين نجد أن :

$$P_{O} - P = \omega(S_{O} - S)L$$

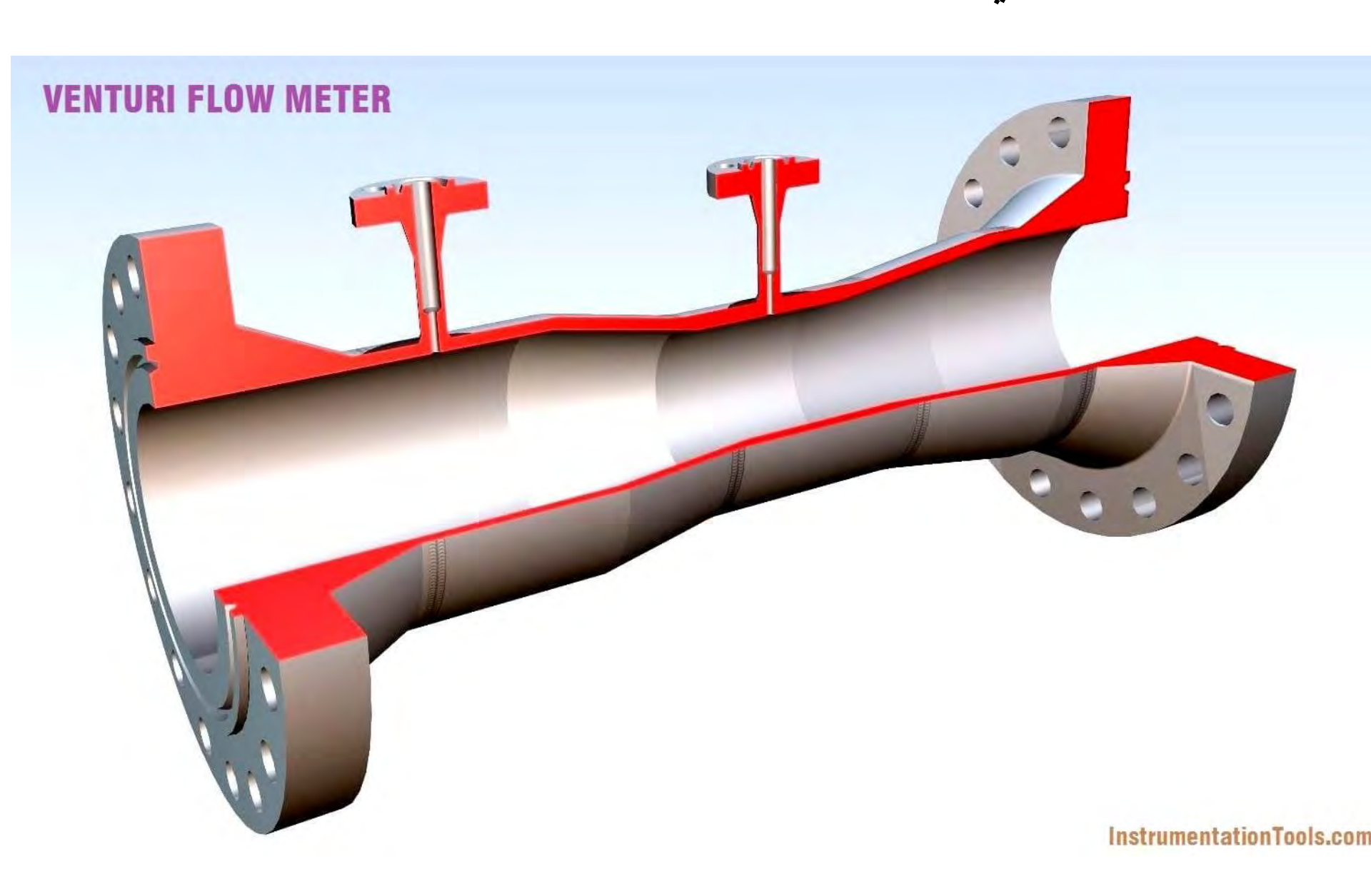
$$P_{O} - P = \frac{\omega S}{g} \frac{V^{2}}{2}$$

$$V = \sqrt{2gL\left(\frac{S_0}{S} - 1\right)}$$

ومنـــه

يستخدم جهاز فنتوري لقياس التدفق في الأنابيب المغلقة (الجريان فيها تحت الضغط). وهو عبارة عن تضايق تدريجي في مقطع الأنبوب يعود ليتوسع. يوضع أنبوبان بيزومتريان لقياس الضغط الأول قبل التضايق والثاني ضمن التضايق تماماً. يقاس فرق الضغط (الفرق في ارتفاع المائع بين الأنبوبين) وتطبق معادلة برنزللي بين المقطعين:

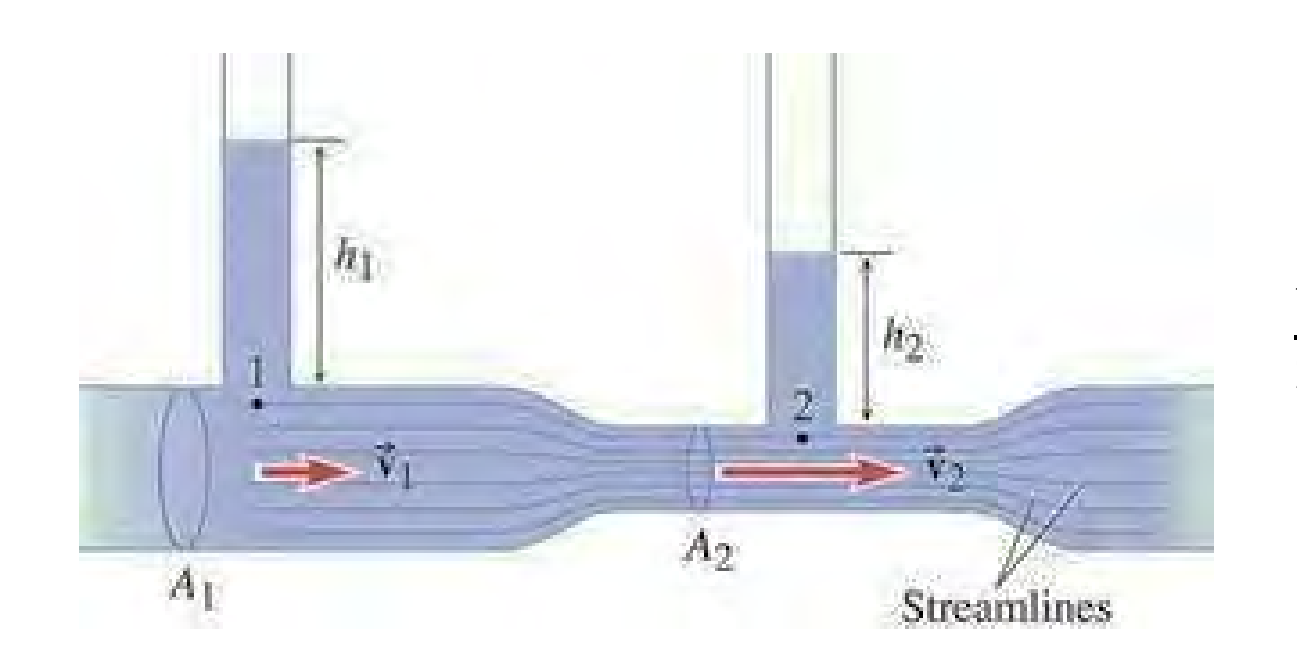




يستخدم جهاز فنتوري لقياس التدفق في الأنابيب المغلقة (الجريان فيها تحت الضغط). وهو عبارة عن تضايق تدريجي في مقطع الأنبوب يعود ليتوسع. يوضع أنبوبان بيزومتريان لقياس الضغط الأول قبل التضايق والثاني ضمن التضايق تماماً. يقاس فرق الضغط (الفرق في ارتفاع المائع بين الأنبوبين) وتطبق معادلة برنزللي بين المقطعين:

$$\frac{V_1^2}{2g} + \frac{P_1}{\omega} + Z_1 = \frac{V_2^2}{2g} + \frac{P_2}{\omega} + Z_2$$

باعتبار أن المقياس متوضع بشكل أفقي، فإن نقطتي القياس تقعان على مستوي أفقي واحد (محور الأنبوب)

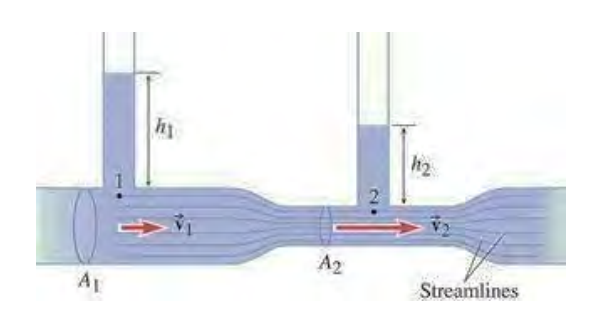


$$Z_{1} = Z_{2}$$

$$\frac{V_{1}^{2}}{2g} + \frac{P_{1}}{\omega} = \frac{V_{2}^{2}}{2g} + \frac{P_{2}}{\omega}$$

$$\frac{V_{1}^{2}}{2g} + \frac{P_{1}}{\rho \cdot g} = \frac{V_{2}^{2}}{2g} + \frac{P_{2}}{\rho \cdot g}$$

$$\frac{V_{2}^{2}}{2g} - \frac{V_{1}^{2}}{2g} = \frac{P_{1}}{\rho \cdot g} - \frac{P_{2}}{\rho \cdot g}$$



نستفيد من معادلة الاستمرار
$$Q = V_1.A_1 = V_2.A_2$$
 $\Rightarrow V_2 = V_1 \frac{A_1}{A_2}$

نعوض في معادلة برنوللي السابقة:

$$\frac{V_1^2}{2g} \cdot \left(\frac{A_1}{A_2}\right)^2 - \frac{V_1^2}{2g} = \frac{P_1}{\rho \cdot g} - \frac{P_2}{\rho \cdot g}$$

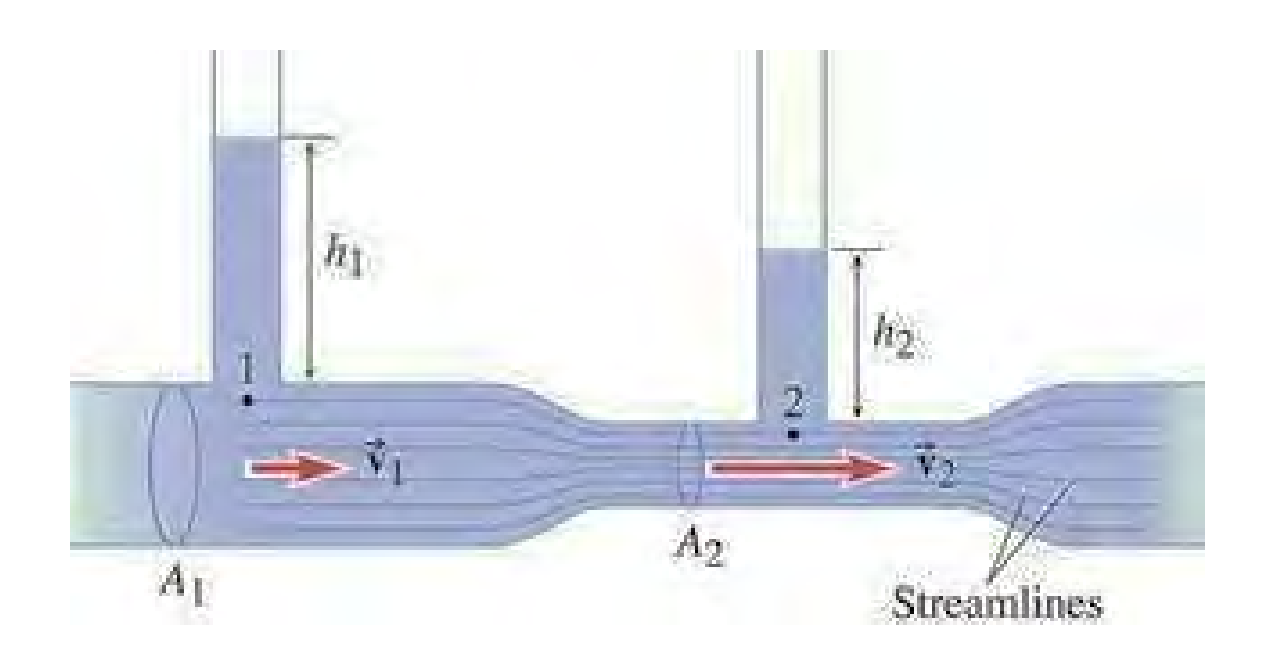
$$\frac{V_1^2}{2g} \left[\frac{A_1^2}{A_2^2} - 1\right] = \frac{P_1}{\rho g} - \frac{P_2}{\rho g}$$

$$\frac{V_1^2}{2g} \left[\frac{A_1^2 - A_2^2}{A_2^2}\right] = \frac{P_1}{\rho g} - \frac{P_2}{\rho g} = h_1 - h_2 = \Delta h$$

$$V_1^2 = \left[\frac{A_2^2}{A_1^2 - A_2^2}\right] \times 2 \cdot g \times \Delta h$$

$$V_1 = A_2 \times \sqrt{\frac{2g \times \Delta h}{(A_1^2 - A_2^2)}}$$

$$Q = V_1 \times A_1 = A_1 A_2 \times \sqrt{\frac{2g \times \Delta h}{(A_1^2 - A_2^2)}}$$

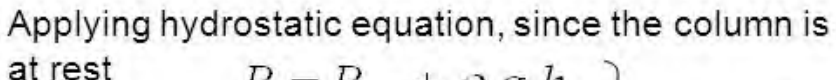


The Venturi meter

$$Q = A_1 v_1 = A_2 v_2 = A_1 A_2 \sqrt{\frac{2(P_1 - P_2)}{\rho (A_1^2 - A_2^2)}}$$

Measuring the pressure difference P₁-P₂

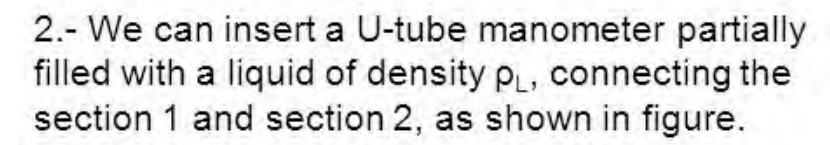
1.-Inserting a vertical pipe open at the top in each section we can measure the pressure at section 1 and at section 2.



$$P_1 = P_{atm} + \rho g h_1$$

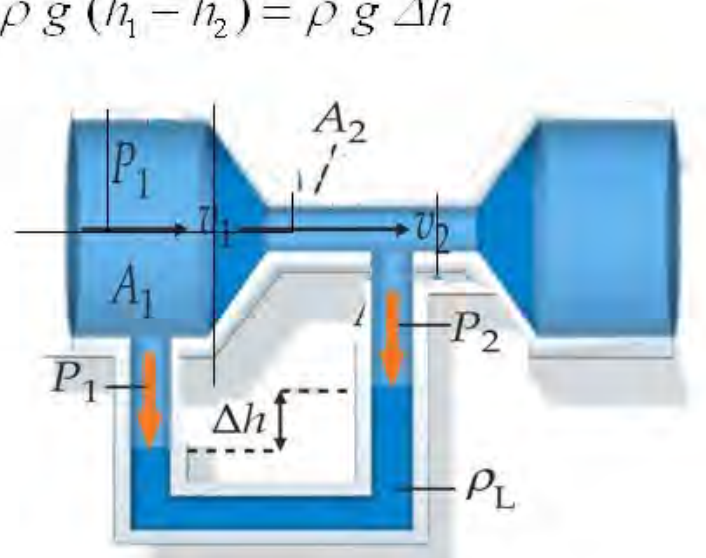
$$P_2 = P_{atm} + \rho g h_2$$

$$\left. \begin{array}{l}
P_{1} = P_{atm} + \rho g h_{1} \\
P_{2} = P_{atm} + \rho g h_{2}
\end{array} \right\} \quad P_{1} - P_{2} = \rho g (h_{1} - h_{2}) = \rho g \Delta h$$



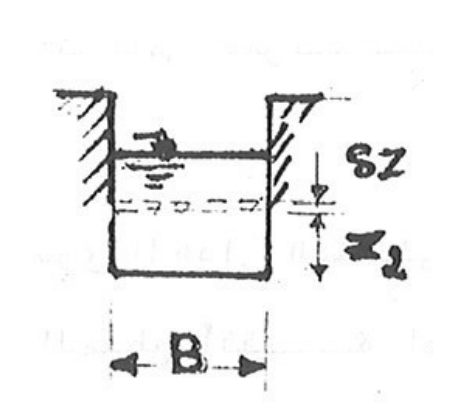
In this case the difference of pressure will be determined from the difference of height at the manometer

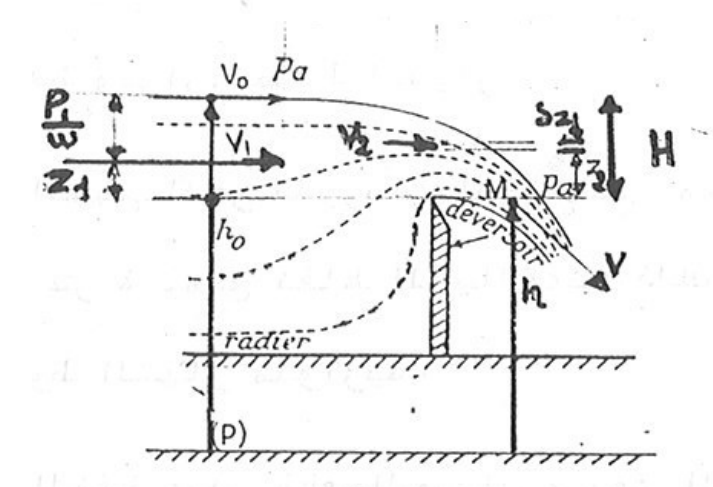
$$P_1 - P_2 == \rho_L g \Delta h$$



٣_٢_ ٤ _و الهـدارات:

تستعمل الهدارات وخاصة الرقيقة الحافة لقياس التدفيق في الاقنية المكشوفة وبشكل عام لقياس الكميات الصغيرة لجريان الماء والتي تقل عامة عن حوالي 0,25 m³/s





لنعتبر الآن الهدار المبين في الشكل كي نستطيع دراسة الجريان المذكــور تقبل الفرضيات التالية:

- ا _ بعیدا عن الهدار في الاتجاه المعاكس للتیار یفت _ رض ان الجریان منتظم وخطوط التیار متوازیة بحیث تتحقق العلاق _ ـ ق الهیدروستاتیکیة P = ωh
 - ٢ ـ يبقى السطح الحر للجريان أفقياً حتى مستوى الهدار الشاقولي
- ٣ ـ يكون الضغط عند قطع الجريان مستوى الهدار منتظما ويساوي
 ١ الضغط الجوى
 - ٤ _ يهمل تأثير اللزوجة والشد السطمي ٠

$$V_2 = [2g(H - z_2) + V_1^2]^{\frac{1}{2}}$$

اي على z_2 وتكون السرعـــة أعظميــــة عند حرف الهدار ومغرى عند السطح الحر $\delta Q = BV_2 \delta z_2$

التدفق النظرى الاجمالي فوق الهدار هو:

$$Q = \int dQ = \int_{0}^{H} BV_{2}dz_{2}$$

$$Q = \frac{2}{3} B\sqrt{2g} H^{3/2}$$

التدفق الحقيقي يختلف عن التدفق النظري والتدفق الحقيقي فسحوق

الهدار يصبح :

$$Q_{a} = C_{d} \frac{2}{3} B\sqrt{2g} H^{3/2}$$

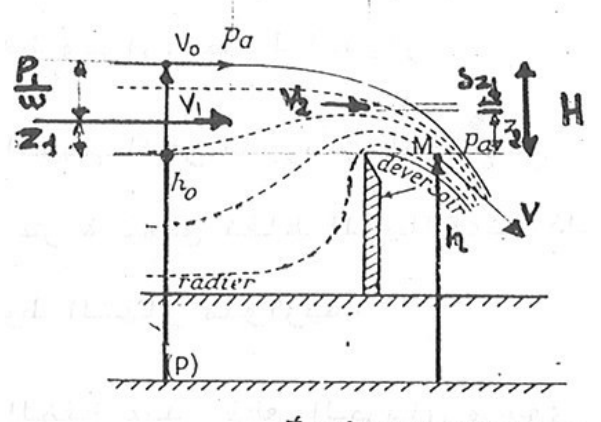
$$Q = (1,782 + 0,24 - \frac{h_e}{h_o}) Bh_e^{3/2}$$

 $h_{\odot} = h_{\odot}$ ارتفاع صفيعة الهدار الشاقولية

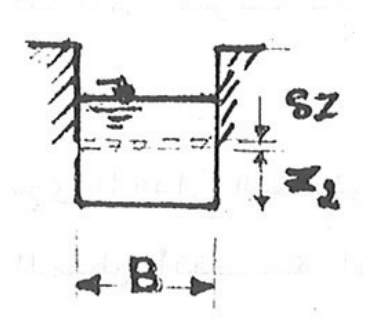
•
$$h + 0,0011(m) = h_e$$

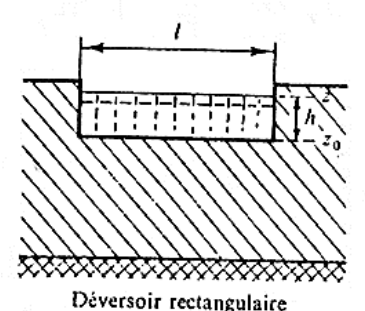
h = عمولة المريان المسكب فوق عتبة الهدار (m)،

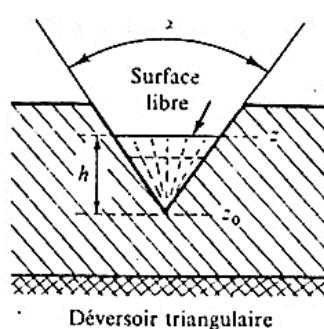
 $_{\cdot}$ نصلح المعادلة (37 - 37) ممن الحدود التالية فقط $_{\circ}$ h < 4h $_{\circ}$, 0,15 < h $_{\circ}$ < 1,22(m)

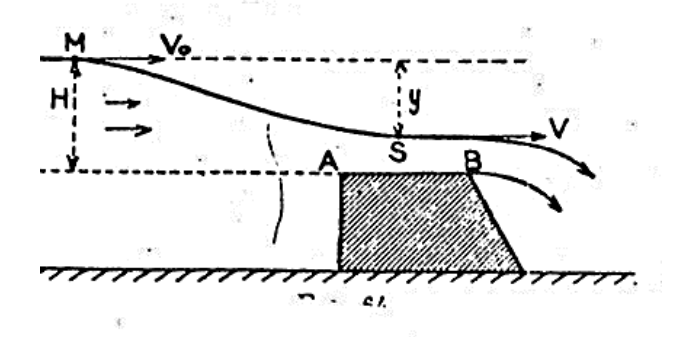


— Écoulement par-dessus un déversoir en mince paroi.









أما الهدارات المثلثية (أو بشكل حرف V) فهي تسمح بقياس أكث دقة للتماريف الصغيرة ، نظراً لأن تصريف الهدار بشكل حرف ٧ يريـد مع الحمولة بسرعة أكبر بالمقارنة مع هدار ذي عتبة أفقيـ اذا أخذنا فتحة عرضها b وعمقها dh وارتفاع سطح الما ً فوقهــا

$$Q = \iint_{h=0}^{h=H} dQ = \int_{h=0}^{h=H} C_{\tilde{q}} b dh \sqrt{2gh}$$

$$Q = \int_{h=0}^{h=H} C_{d}^{2} (H - h) \tan \frac{\theta}{2} dh \sqrt{2gh}$$

$$Q = \frac{8}{15} C_{d} \tan \frac{\theta}{2} \sqrt{2g} \cdot H^{5/2}$$

تتراوح زاوية الهدارات المثلثية O بين 20 و 90° درجة, وامتسال التدفق للهذارات ذات الزاوية °90=0يكون عادة من مرتبة 0,6 = 7.